

## اثر بلوغ اولیه صافی روی بازده حذف کیست ژیاردیا و ارائه روشی برای بهبود

\* دکتر عبدالله رشیدی مهرآبادی  
\*\* دکتر ناصر رازقی  
\*\*\* دکتر علی اکبر عظیمی  
\*\*\*\* دکتر ایرج موبدي  
\*\*\*\*\* دکتر علی ترابیان\*

### چکیده

فرایند فیلتراسیون دارای الگویی مشخص است. ابتدا به دلیل عدم آمادگی سطوح مصالح، بستر صافی برای جذب ذرات مقادیری از ذرات از صافی عبور می‌نمایند و کیفیت آب خروجی نامناسب خواهد بود. پس از چند دقیقه سطح مصالح آماده، جذب شده و اصطلاحاً صافی بالغ می‌گردد. پس از بلوغ صافی کیفیت آب خروجی بهبود یافته و تقریباً تا انتهای دوره عملکرد صافی ثابت باقی می‌ماند. در این تحقیق با استفاده از پایلوت آزمایشگاهی شامل واحد تهیه آب خام، انقاد، لخته سازی و دو نوع صافی تک لایه و سه لایه اثر بلوغ اولیه<sup>(۱)</sup> روی بازده حذف کیست ژیاردیا<sup>(۲)</sup> بررسی گردید. نتایج به دست آمده مشخص نمود که متوسط تعداد کیست خروجی در دوران بلوغ صافی چندین برابر متوسط تعداد کیست خروجی در کل دوره عملکرد صافی می‌باشد. همچنین مشخص شد با افزودن دو میلی گرم در لیتر کلوروفریک به آب شست و شوی صافی در مرحله آبکشی بهبود چشمگیری در کیفیت آب خروجی ایجاد شده و دوران بلوغ بسیار کوتاه خواهد شد.

### کلید واژه

فیلتراسیون، بلوغ صافی، کیست ژیاردیا، لخته سازی، آب خام.

تاریخ پذیرش: ۱۳۸۲/۷/۲۲

تاریخ دریافت: ۱۳۸۲/۱/۲۰

\* عضو هیئت علمی گروه آب و فاضلاب، موسسه فناوری آب و نیرو.

\*\* استاد مهندسی محیط زیست، دانشکده محیط زیست، دانشگاه تهران.

\*\*\* استادیار مهندسی محیط زیست، دانشکده محیط زیست، دانشگاه تهران.

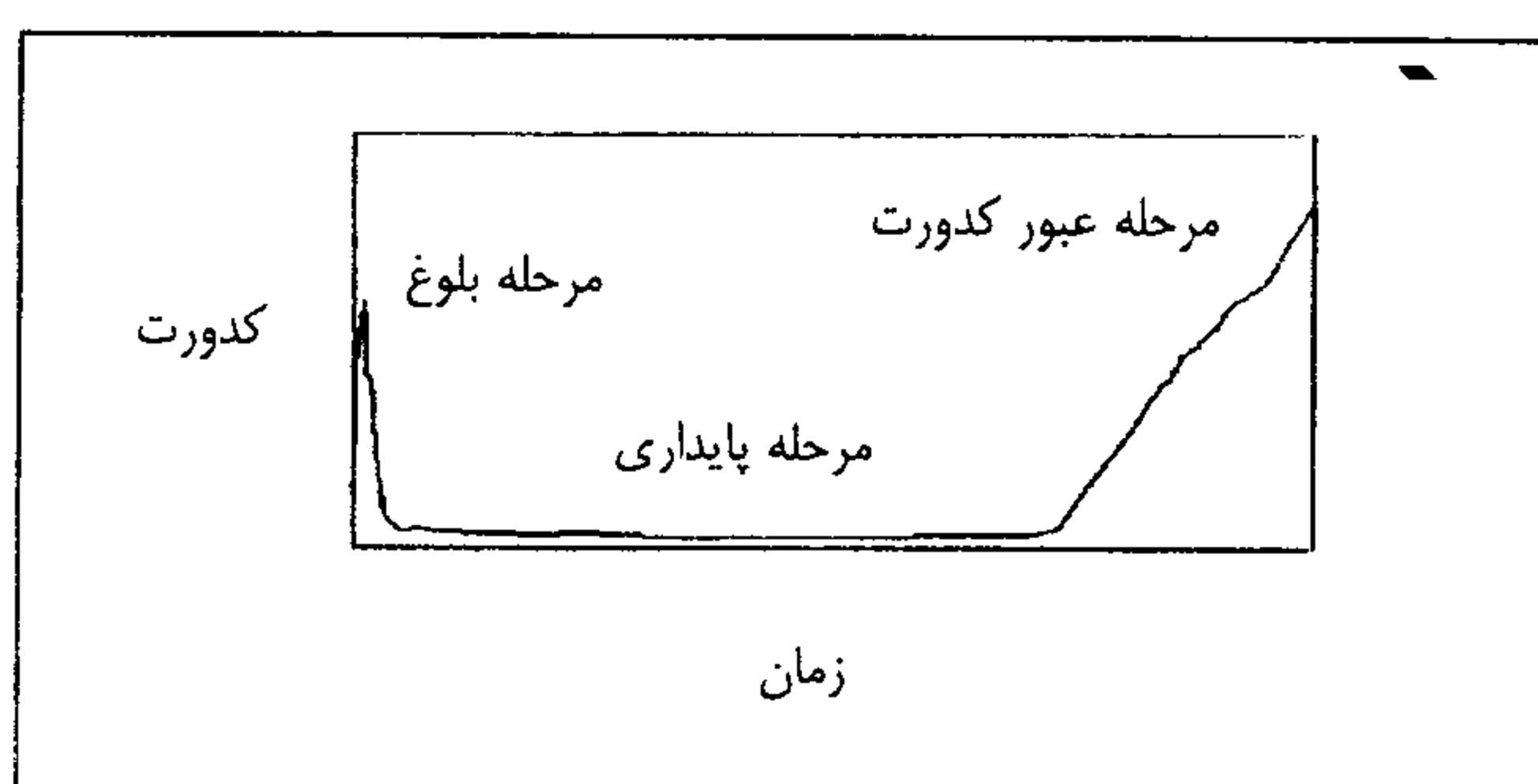
\*\*\*\* دانشیار نمادولوژی دانشکده بهداشت، دانشگاه علوم پزشکی تهران.

\*\*\*\*\* دانشیار مهندسی محیط زیست، دانشکده محیط زیست، دانشگاه تهران.

لیکن پیک دوم ناشی از عبور ذرات به دلیل عدم آمادگی سطح مصالح بستر صافی برای جذب می‌باشد. پس از تشکیل لایه ژلاتینی روی سطح مصالح بستر، بر اثر عبور آب حاوی مواد منعقدکننده و تجمع یک لایه از ذرات، بستر کاملاً بالغ و آماده جذب سایر ذرات می‌گردد. طول دوره بلوغ بستگی به نرخ فیلتراسیون، کدورت آب ورودی و میزان مواد منعقدکننده تزریقی دارد.

با توجه به کاهش کیفیت آب خروجی در این دوره، مطالعاتی به منظور بررسی میزان عبور عوامل میکروبیولوژی بیماریزا توسط برخی محققان صورت پذیرفته است. تحقیقاتی که توسط پاتانیا و همکارانش (Patania, 1996) انجام پذیرفت، مشخص کرد که میزان حذف کریپتوساپریدیوم در مرحله بلوغ بین ۶۰ تا ۸۷ درصد کمتر از حالت پایدار است.

همان گونه که بیان گردید، برخی از عواملی که امکان عبور آنها از صافی طی دوره بلوغ صافی وجود دارد، همانند کیست ژیارديا و یا اووکیست کریپتوز اسپریدیوم نسبت به گندزدایی با کلر در غلظت‌های متداول مقاوم می‌باشند. بنابراین بررسی پتانسیل عبور این عوامل از صافی‌ها و روش‌های جلوگیری از عبور آنها دارای اهمیت ویژه‌ای خواهد بود. به همین منظور طی مجموعه‌ای آزمایش، بازده حذف کیست ژیارديا توسط دو نوع صافی تک لایه و سه لایه در نرخ‌های فیلتراسیون<sup>(۱)</sup> متفاوت مورد بررسی قرار گرفت. در ادامه، ابتدا روش کار، سپس نتایج حاصل ارائه می‌گردد.



**شکل شماره (۱): الگوی کدورت خروجی از یک صافی تند در طول دوره عملکرد** (Trimboli, 2001)

### ابزار و روش تحقیق

این تحقیق با استفاده از مطالعات پایلوت انجام پذیرفت.

### سرآغاز

فرایند فیلتراسیون دارای یک الگوی مشخص می‌باشد. همان‌گونه که در شکل شماره (۱) نشان داده شده است، در آغاز کار صافی، تعداد زیادی از ذرات معلق از بستر صافی عبور می‌نمایند و کیفیت آب خروجی از صافی به دلیل عبور ذرات نامناسب می‌باشد (Trimboli, 2001). بتدريج در مدتی بین چند دقیقه تا یکی دو ساعت افزایش چشمگیری در ضریب فیلتراسیون (λ) و در نتیجه در بهبود کیفیت آب خروجی مشاهده می‌گردد. به این مرحله از ابتدای فیلتراسیون تا رسیدن به بهترین کیفیت خروجی، مرحله بلوغ صافی اطلاق می‌شود (Huismans, 1986).

پس از این مرحله، یک دوره پایدار طولانی مدت با کیفیت نسبتاً ثابت آغاز می‌گردد که به آن دوره یکنواخت یا پایدار<sup>(۲)</sup> گفته می‌شود. در نهایت در پایان رسوب و تجمع ذرات روی مصالح بستر، صافی باعث کاهش حجم تخلخل و افزایش سرعت واقعی جریان از بین مصالح می‌شود. این افزایش سرعت با جلوگیری از ته نشینی و جذب مواد جدید و کندن و حرکت دادن مواد تجمع یافته قبلی موجب عبور مواد و کاهش مجدد کیفیت آب صاف شده می‌گردد. این مرحله را مرحله خروج یا فرار ذرات<sup>(۳)</sup> می‌نامند.

همان گونه که بیان گردید در مرحله نخست، فیلتراسیون بخشی از ذرات از صافی‌ها عبور و در نتیجه کدورت آب خروجی افزایش می‌یابد. با توجه به اینکه حجم آب با کدورت بالا نسبت به کل حجم آب تصفیه شده در یک دوره عملکرد صافی ناچیز می‌باشد، اغلب بهره برداران صافی‌ها توجه چندانی به این دوران ندارند (رشیدی، ۱۳۸۱).

مشکلاتی که در سالهای اخیر توسط برخی عوامل بیماریزای مقاوم به گندزدایی، مانند کیست ژیارديا و اووکیست کریپتوز اسپریدیوم<sup>(۴)</sup> به وجود آمده، توجه محققان را به کیفیت آب در مرحله بلوغ صافی‌ها جلب نموده است (رشیدی و فاضلی، ۱۳۸۱). تحقیقات امیرتاراجه (Amirtharajah and Wetstein, 1980 & Amirtharajah, 1988) منجر به ایجاد مدلی با دو پیک برای این مرحله گردید:

پیک اول که بسیار کوتاه مدت است، ناشی از باقی ماندن ذرات در بستر صافی در مرحله شست و شوی معکوس است،

دوم سه لایه<sup>(۱)</sup> یا صافی با بستر مخلوط<sup>(۱۰)</sup> است. مشخصات مصالح به کار رفته در آنها به شرح جدول شماره (۱) می‌باشد.

شایان ذکر است، با توجه به لزوم حفظ لایه بنده در صافی سه لایه پس از شست و شوی معکوس، سرعت شناورسازی هر سه لایه می‌باید یکسان باشد. بدین منظور با استفاده از رابطه (۱) با داشتن دانسیته مصالح موردنتظر و انتخاب قطر ماسه سیلیس، قطر سایر مصالح محاسبه گردیده است.

جدول شماره (۱): مشخصات مصالح بستر صافی ها

عمق جذبه (cm)	تجزیه وزن (g/cm³)	تجزیه وزن (gr/cm³)	جنس صالح	نوع صافی	ردیف
۸۵	۰/۶۰	۲/۶۲	ماسه سیلیس	تک لایه	۱
۴۰	۱/۱۶	۱/۶۰	آنتراسیت		
۳۵	۰/۶۰	۲/۶۲	ماسه سیلیس	سه لایه	۲
۱۰	۰/۳۹	۴/۰۰	گارنت		

$$\frac{d_1}{d_2} = \left( \frac{\rho_2 - \rho_w}{\rho_1 - \rho_w} \right)^{0.667} \quad (1)$$

در این رابطه،  $d_1$  و  $d_2$  قطر و  $\rho_1$  و  $\rho_2$ ، دانسیته غیرهمجنس مصالح صافی می‌باشند.  $\rho_w$  نیز دانسیته آب است. در مسیر خروجی هر صافی یک جعبه مجهز به شناور به منظور کنترل نرخ فیلتراسیون نصب گردیده بود.

جمع آوری و آنالیز نمونه‌ها برای کیست ژیارديا بر اساس روش B-9711-9711-B کتاب روش‌های استاندارد آزمایش آب و فاضلاب<sup>(۱۱)</sup> انجام گرفت. همچنین کدورت نیز با روش استاندارد (ASTM-D-1889-94)<sup>(۱۲)</sup> اندازه گیری می‌گردید. بر اساس روش B-9711-B، برای جمع آوری نمونه‌های کیست ژیارديا از کارتريج فیلترهایی از جنس پلی پروپیلن<sup>(۱۳)</sup> با قطر روزنه یک میکرومتر استفاده گردید. کارتريج‌های موردنظر به خروجی هر صافی پس از جعبه کنترل نرخ متصل بود.

به منظور تعیین اثر بلوغ اولیه صافی، ابتدا بازده حذف کیست توسط دو نوع صافی، طی دوره عملکرد کامل در سه نرخ فیلتراسیون ۵، ۱۰ و ۱۵ متر در ساعت مورد بررسی قرار گرفت.

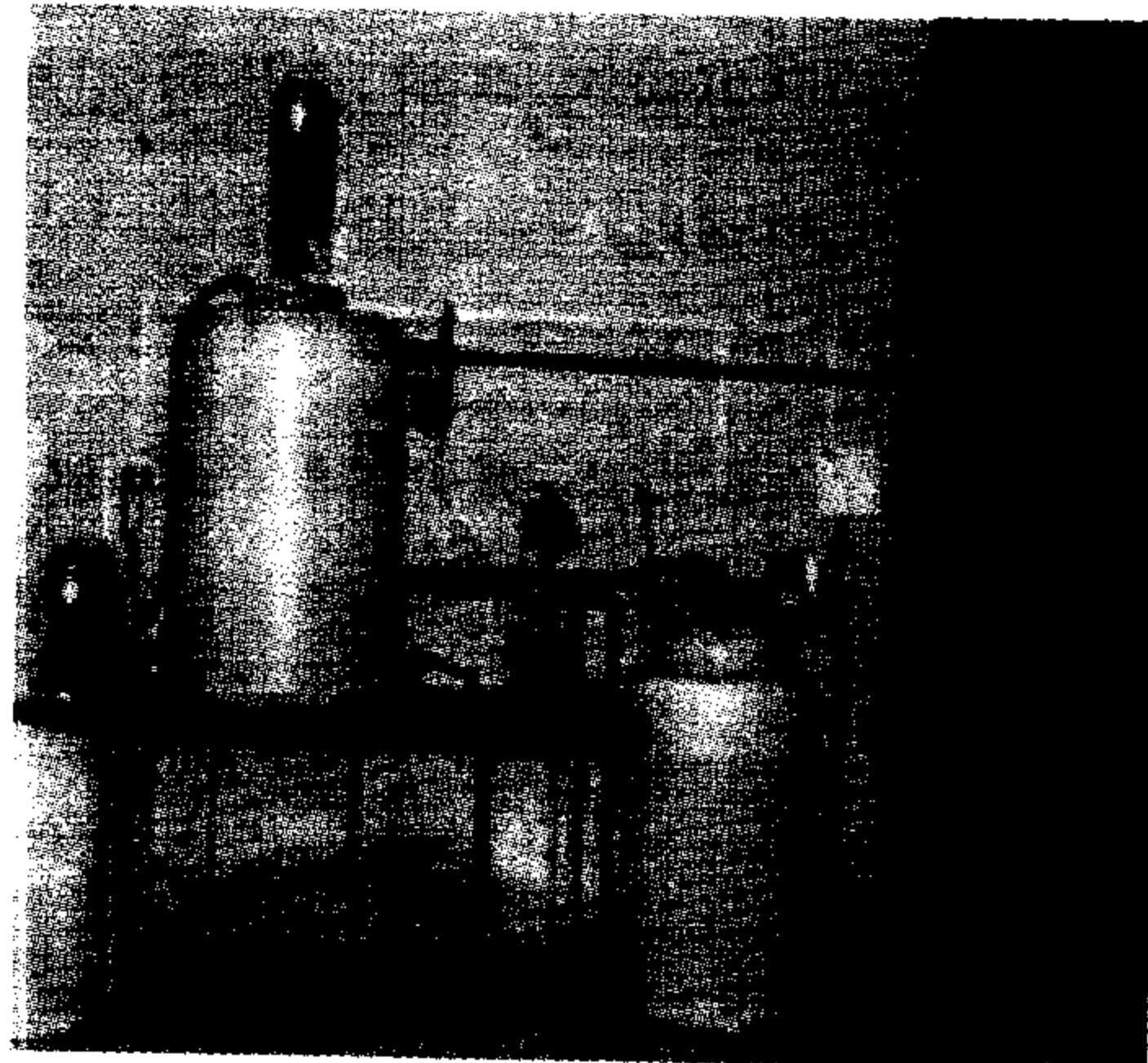
همان گونه که در شکل شماره (۲) نشان داده شده است، پایلوت شامل واحد تهیه آب خام، واحد انعقاد و لخته‌سازی، حوضچه تقسیم و اندازه گیری جریان، واحد فیلتراسیون و سیستم شست و شوی معکوس است. واحد تهیه آب خام از دو مخزن استوک کدورت و کیست ژیارديا، هر یک مجهز به همزن و پمپ تزریق قابل تنظیم و مخزنی با ارتفاع ثابت مجهز به همزن تشکیل گردیده است. مخزن ارتفاع ثابت از طریق یک لوله به سیستم لوله کشی آب شهر متصل بوده و ارتفاع آب درون آن توسط شناور ثابت نگه داشته می‌شد. محلول‌های حاوی کیست ژیارديا و گل رس (مولد کدورت) توسط پمپ‌های تزریق به میزان موردنظر به این مخزن افزوده و آب خام با کیفیت دلخواه تهیه می‌گردید. میزان کدورت موردنظر آب خام بر اساس توصیه کلسبی و همکاران (Cleasby et al., 1984) بین ۱۲ تا ۱۶ ان-تی-یو(N.T.U) و تعداد کیست ژیارديا به منظور توانایی اندازه گیری  $10^5$  عدد در لیتر تنظیم می‌شد. شایان ذکر است که کیست ژیارديایی مورداستفاده از مدفوع بیماران مبتلا به ژیارديا لامبليا، جداسازی و پس از غیرفعال کردن مورد استفاده قرار می‌گرفت. آب خام سپس وارد واحد اختلاط سریع می‌گردید. در این واحد پس از افزودن پنج میلی گرم در لیتر، کلروفورفیک در مدت زمان ۲۰ ثانیه و تحت گرادیان سرعت ۹۰۰ ( $S^{-1}$ ) فرایند انعقاد انجام شده و پس از انجام لخته سازی در واحد لخته سازی آب به مخزن تقسیم که مجهز به دو سرریز مثلثی ۳۰ درجه بود، هدایت می‌گردید. هر بخش از جریان تقسیم شده پس از اندازه گیری مجدد توسط روتامتر وارد ستونی صاف می‌شد. ستون‌های صاف از جنس پلکسی گلاس با قطر ۲۰۰ میلیمتر و ارتفاع ۲ متر ساخته شده بود. این قطر بر اساس توصیه استاندارد شماره ASTM-D-4188 برای کاهش اثر دیواره<sup>(۱۴)</sup> انتخاب گردید. همچنین با انجام آزمایش ستون خالی و آزمایش ردیاب، میزان اثر دیواره مورد بررسی قرار گرفت.

روی هر ستون هفت لوله مانومتر برای اندازه گیری افت ارتفاع و هفت شیر نمونه برداری از جنس پلی اتیلن نصب گردیده بود. همچنین صافی‌ها به منظور شست و شوی معکوس، مجهز به پمپ آب و دمنده هوا با دبی کافی برای شناورسازی کامل بودند. یکی از صافی‌ها، تک لایه<sup>(۱۵)</sup> و صافی

است، شست و شوی صافی‌ها به صورت عادی و شامل شست و شوی با آب، با آب و هوا و آبکشی به همراه شناورسازی کامل به منظور لایه بندی مجدد صافی‌ها بود.

در سناریوی دوم به منظور کاهش اثر بلوغ اولیه آماده سازی، سطح مصالح بستر صافی در مرحله شست و شو انجام پذیرفت. برای این کار در مرحله آبکشی که آخرین مرحله شست و شوی معکوس صافی‌ها بود دو میلی گرم در لیتر کلروورفریک به آب آبکشی اضافه گردید. سایر مراحل، مشابه سناریوی اول صورت پذیرفت. نتایج حاصل از هر دو سناریو در جداول شماره (۴) و (۵) در نمودارهای شماره ۲ الی ۷ ارائه گردیده است.

نوع ماده منعقد کننده به کار رفته، کلروورفریک و میزان تزریق آن ۵ میلی گرم در لیتر بود. هر آزمایش سه بار تکرار گردید. نتایج بدست آمده در جدول شماره (۲) ارائه گردیده است. نمودار شماره (۱)، روند تغییرات تعداد کیست خروجی از صافی‌های در طول دوره عملکرد را نشان می‌دهد. در این مرحله هر نمونه، حاصل عبور ۱۰۰۰ لیتر آب از کارتربیج فیلترند. همچنین در هر ساعت نمونه‌ای از کدورت ورودی و خروجی نیز برداشت می‌گردید. نتایج حاصل در جدول شماره (۳) ارائه گردیده است. در مرحله بعدی کدورت خروجی از ابتدای شروع کار صافی در هر پنج دقیقه یک بار و نمونه کیست خروجی تا ثابت شدن کدورت خروجی برداشت می‌گردید. در این مرحله که سناریوی اول



شکل شماره (۲) پایلوت مورد استفاده در تحقیق

جدول شماره (۲): نتایج حاصل از بررسی بازده حذف کیست زیاردیا، طی دوره عملکرد صافی

ضریب صافی (m <sup>-1</sup> )	لگاریتم حذف	میانگین وزن تعداد کیست خروچی (دلیتر)	میانگین وزن تعداد کیست ورودی (دلیتر)	تعداد نمونه‌ها در هر دوره	نرخ فیلتراسیون (m/h)	نوع صافی	ردیف
۱/۱۷۶	۴/۰۴	۱۰	۱/۱۲×۱۰ <sup>۵</sup>	۳	۵	تک لایه	۱
۱/۱۷۶	۴/۵۷	۳	۱/۱۲×۱۰ <sup>۵</sup>	۴	۵	سه لایه	۲
۱/۱۷۶	۳/۲۵	۴۳	۰/۷۵×۱۰ <sup>۵</sup>	۲	۱۰	تک لایه	۳
۱/۱۷۶	۳/۴۱	۲۹	۰/۷۵×۱۰ <sup>۵</sup>	۶	۱۰	سه لایه	۴
۱/۱۷۶	۲/۷۰	۱۸۶	۰/۹۴×۱۰ <sup>۵</sup>	۱	۱۵	تک لایه	۵
۱/۱۷۹	۳/۴۰	۲۷/۵	۰/۹۴×۱۰ <sup>۵</sup>	۶	۱۵	سه لایه	۶

## جدول شماره (۳): نتایج حاصل از بررسی بازده حذف کدورت، طی دوره عملکرد صافی

ردیف	نوع صافی	نرخ فیلتراسیون (m/h)	میانگین کدورت (N.T.U.)	خروجی (N.T.U.)	میانگین بازده حذف کدورت (N.T.U.)	طول دوره عملکرد (ساعت)	UFRV* (مترمکعب)	ضریب صافی ( $m^{-1}$ )
۱	تک لایه	۵	۰/۱	۹۹/۴	۹۹/۴	۱۹	۹۵	۱/۱۶۹
۲	سه لایه	۵	۰/۱	۹۹/۴	۹۹/۴	۲۸	۱۴	۱/۱۶۹
۳	تک لایه	۱۰	۰/۲۸	۹۶/۱	۹۶/۱	۷	۷۰	۱/۱۵۴
۴	سه لایه	۱۰	۰/۱۴	۹۹/۱	۹۹/۱	۱۷/۵	۱۷۵	۱/۱۶۶
۵	تک لایه	۱۵	۱/۹۰	۹۴/۰	۹۴/۰	۲/۵	۳۷/۵	۱/۱۰۶
۶	سه لایه	۱۵	۰/۲۰	۹۸/۷	۹۸/۷	۱۱/۵	۱۷۲/۵	۱/۱۶۱

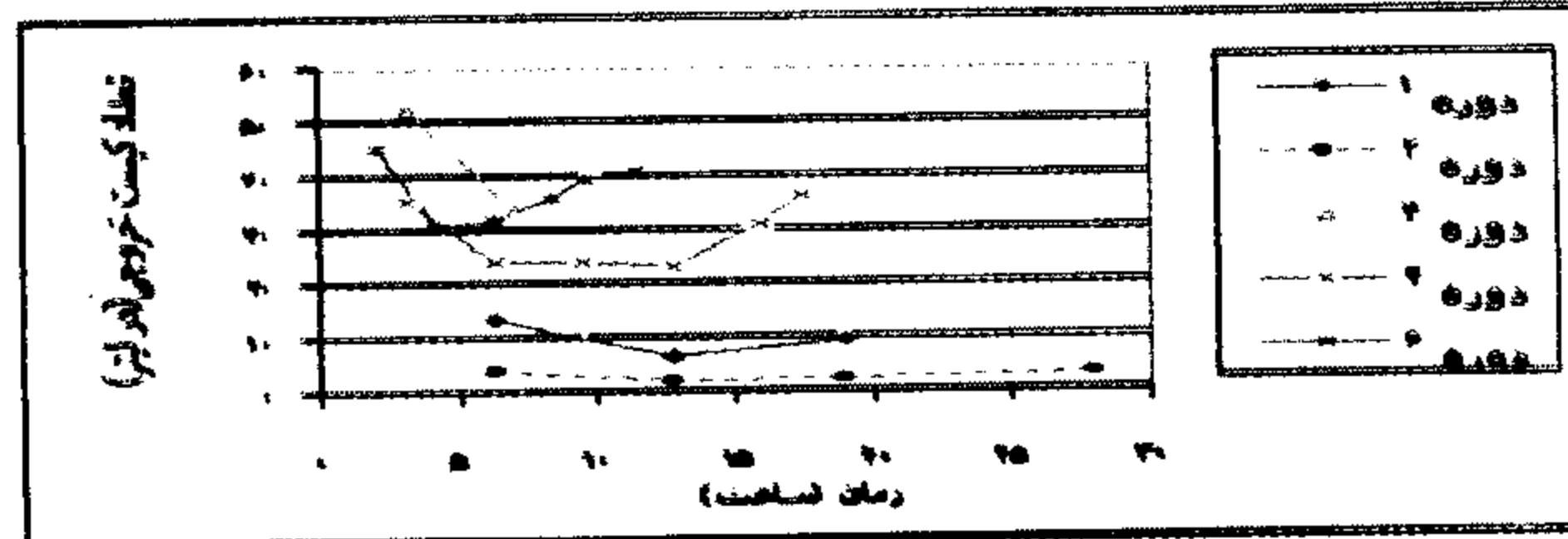
\* Unit Filter Run Volume

صافی ها در صورت شست و شوی عادی در مرحله بلوغ صافی در اغلب موارد می باشد.

در صورت آماده سازی سطح مصالح بستر صافی در مرحله شست و شوی معکوس، دوران بلوغ صافی بسیار کوتاه خواهد بود و همان گونه که در نمودار شماره (۸) مشخص گردیده است، اختلاف عمدی ای بین بازده حذف در مرحله بلوغ با میانگین کل عملکرد صافی وجود نخواهد داشت. بر اساس این دستاوردها ضمن توجه دادن مستواً و بهره برداران تصفیه خانه های آب کشور به اهمیت مرحله بلوغ صافی ها در کیفیت آب تولیدی، پیشنهادهای زیر به منظور ارتقای کیفیت آب تولیدی ارائه می گردد:

- ۱- تعیین طول دوره بلوغ در صافی های هر تصفیه خانه
  - ۲- اجرای یکی از سه روش زیر با توجه به شرایط اختصاصی تصفیه خانه برای کاهش آثار منفی دوران بلوغ صافی.
- (الف) افزودن منعطف کننده به آب شست و شوی صافی ها در مرحله آبکشی
- (ب) برگرداندن آب خروجی صافی در مرحله بلوغ به ابتدای تصفیه خانه
- (ج) دفع آب خروجی صافی در مرحله بلوغ.

بدیهی است هر یک از این روشها می باید پس از بررسی شرایط اختصاصی تصفیه خانه موردنظر به مرحله اجرا درآید.



## نمودار شماره (۱): روند تغییرات کیست خروجی

## در طول دوره فیلتراسیون

(دوره ۵ به دلیل کوتاه بودن، تنها دارای یک نمونه است و در نمودار ارائه نگردیده)

## بحث و نتیجه گیری

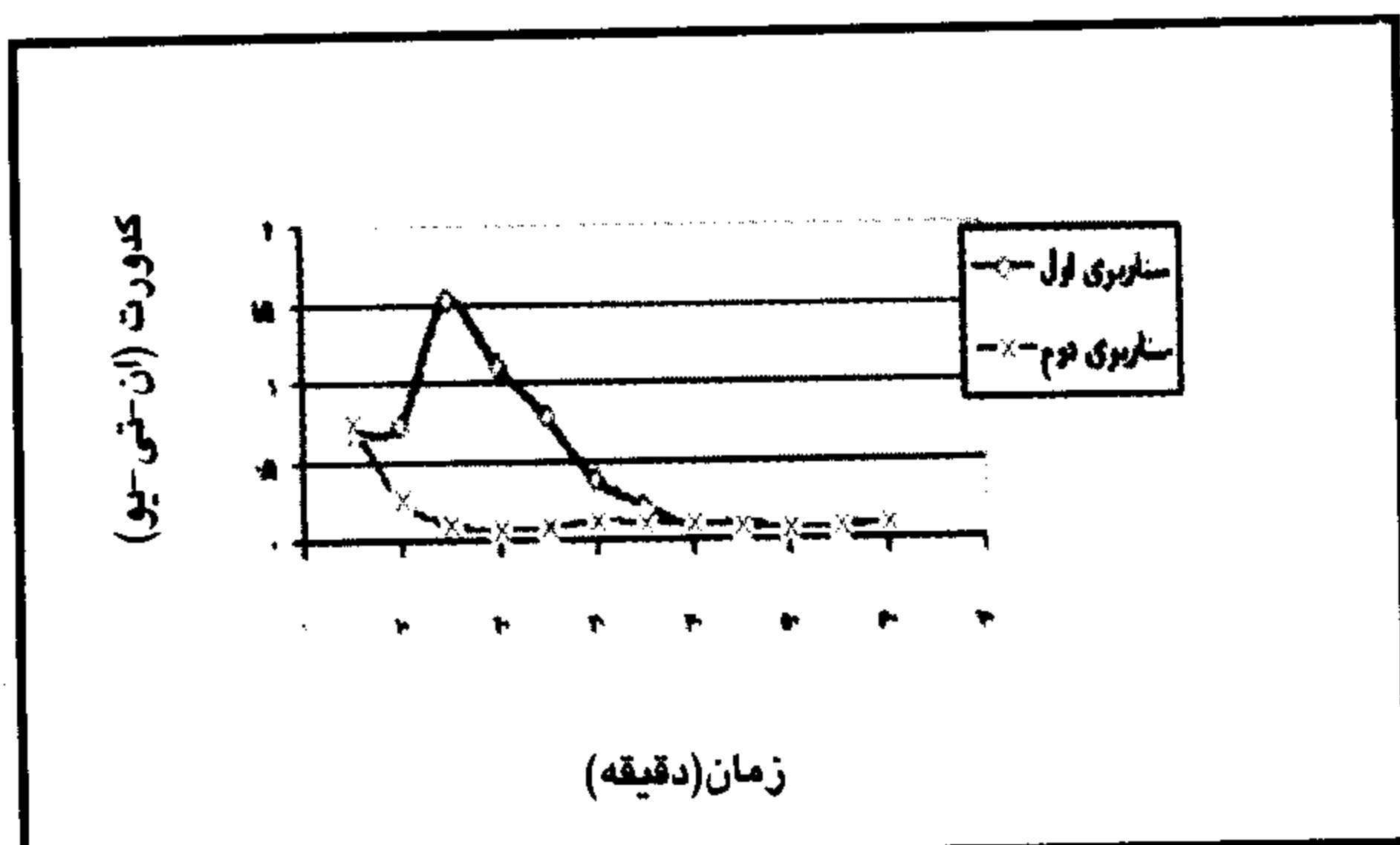
مقایسه میانگین کدورت و کیست خروجی در دقایق ابتدایی شروع به کار صافی های تند با میانگین عملکرد آنها در کل دوره فیلتراسیون، همان گونه که در نمودار شماره (۸) مشخص گردیده است، بیانگر پایین تر بودن بازده حذف طی دقایق ابتدایی یا دوران بلوغ صافی ها است. این مسئله همان طور که قبل از نیز بیان گردید ناشی از باقی ماندن ذرات در بستر صافی در مرحله شست و شوی معکوس و عدم آمادگی سطح مصالح بستر صافی برای جذب می باشد. با توجه به اینکه در اساس استانداردهای معتبر، بازده حذف کیست ژیاردیا به سیله صافی ها می باشد حداقل معادل  $log \frac{99}{9} = 3$  درصد) اشد، نتایج حاصل بیانگر عدم توانایی تأمین این استاندارد توسط

## جدول شماره (۴): نتایج حاصل از برسی آثار بلوغ اولیه صافی تک لایه

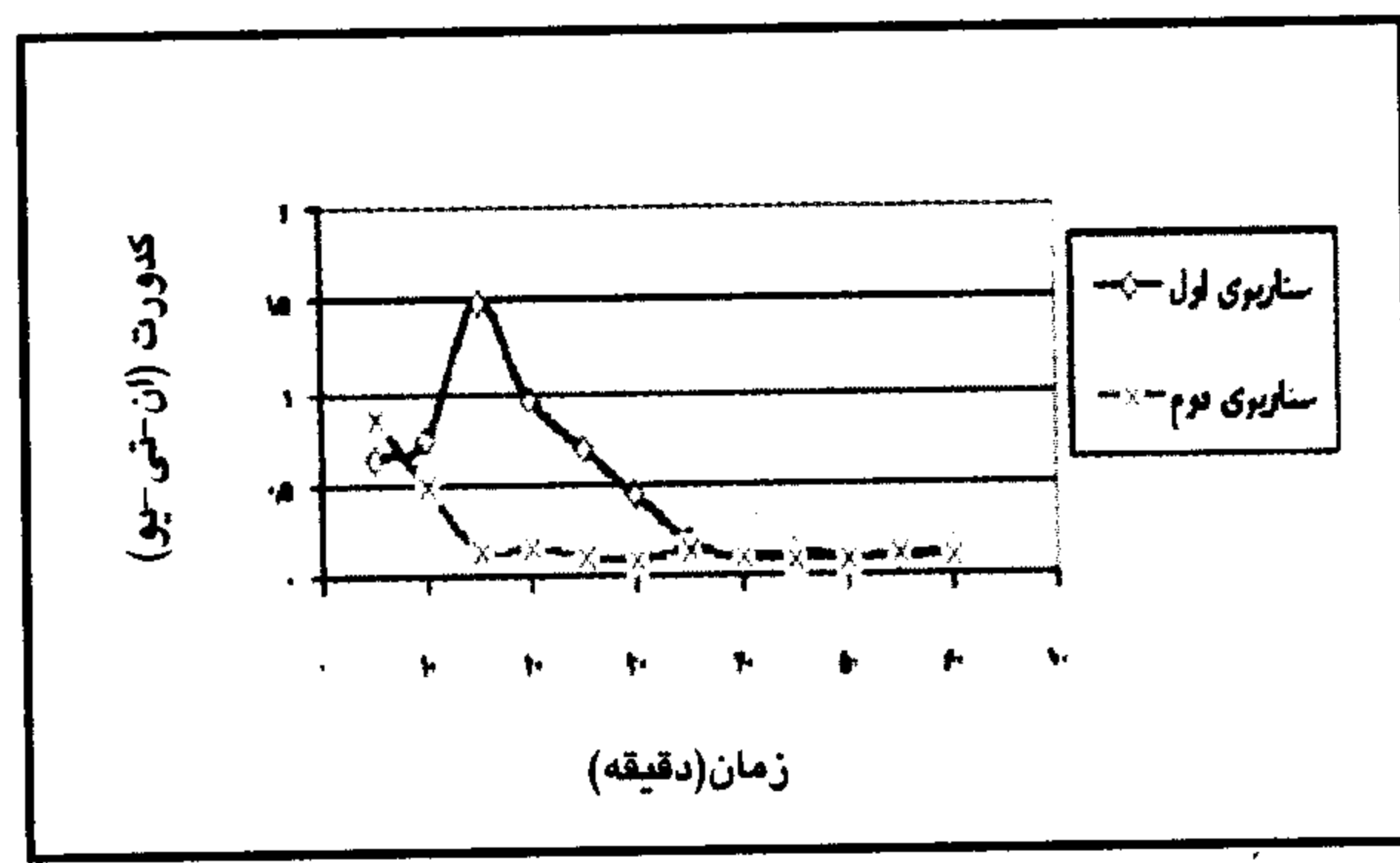
نحو فیلتراسیون (متدر ساعت)						زمان (دقیقه)	ردیف
۱۵	۱۰	۵	سناریوی ۲	سناریوی ۱	سناریوی ۲		
سناریوی ۲	سناریوی ۱	سناریوی ۲	سناریوی ۱	سناریوی ۲	سناریوی ۱		
۰/۸۹	۲/۴۵	۰/۶۵	۰/۵۵	۰/۸۵	۰/۶۴	۵	۱
۰/۵۹	۱/۲۷	۰/۳۲	۱/۹۳	۰/۴۹	۰/۷۴	۱۰	۲
۰/۵۳	۰/۷۸	۰/۲۲	۱/۱۶	۰/۱۳	۱/۴۹	۱۵	۳
۰/۴۸	*۰/۶۱	۰/۱۹	۰/۵۳	۰/۱۵	۰/۶۶	۲۰	۴
۰/۴۶	۰/۵۷	۰/۲۳	*۰/۴۰	۰/۱۰	۰/۶۸	۲۵	۵
۰/۵۲	۰/۵۳	۰/۲۴	۰/۱۹	۰/۰۹	۰/۴۵	۳۰	۶
۰/۵۲	۰/۵۹	۰/۲۱	۰/۲۰	*۰/۱۳	*۰/۱۸	۳۵	۷
۰/۵۶	۰/۵۵	۰/۱۷	۰/۲۲	۰/۱۰	۰/۱۰	۴۰	۸
۰/۵۹	۰/۵۴	۰/۲۳	۰/۲۴	۰/۰۹	۰/۱۲	۴۵	۹
۰/۵۳	۰/۴۹	۰/۲۴	۰/۲۰	۰/۰۸	۰/۱۱	۵۰	۱۰
۰/۵۱	۰/۵۲	۰/۲۲	۰/۱۸	۰/۱۲	۰/۰۸	۵۵	۱۱
۰/۵۷	۰/۵۵	۰/۲۰	۰/۱۹	۰/۱۱	۰/۱۳	۶۰	۱۲
۱۵۷	۱۵۷	۱۳۱	۱۳۱	۹۲	۹۲	حجم آب صاف شده (لیتر)	
۰/۸۹E۵	۰/۸۸ E۵	۰/۹۱ E۵	۰/۹۵ E۵	۰/۹۲ E۵	۰/۹ E۵	تعداد کیست ورودی (دلیتر)	
۱۷۳	۴۱۵	۶۹	۲۲۳	۱۶	۸۳	تعداد کیست خروجی (دلیتر)	
۲/۷۱	۲/۲۳	۳/۱۲	۲/۶۱	۳/۷۶	۳/۰۴	لگاریتم حذف	

## جدول شماره (۵): نتایج حاصل از برسی آثار بلوغ اولیه صافی سه لایه

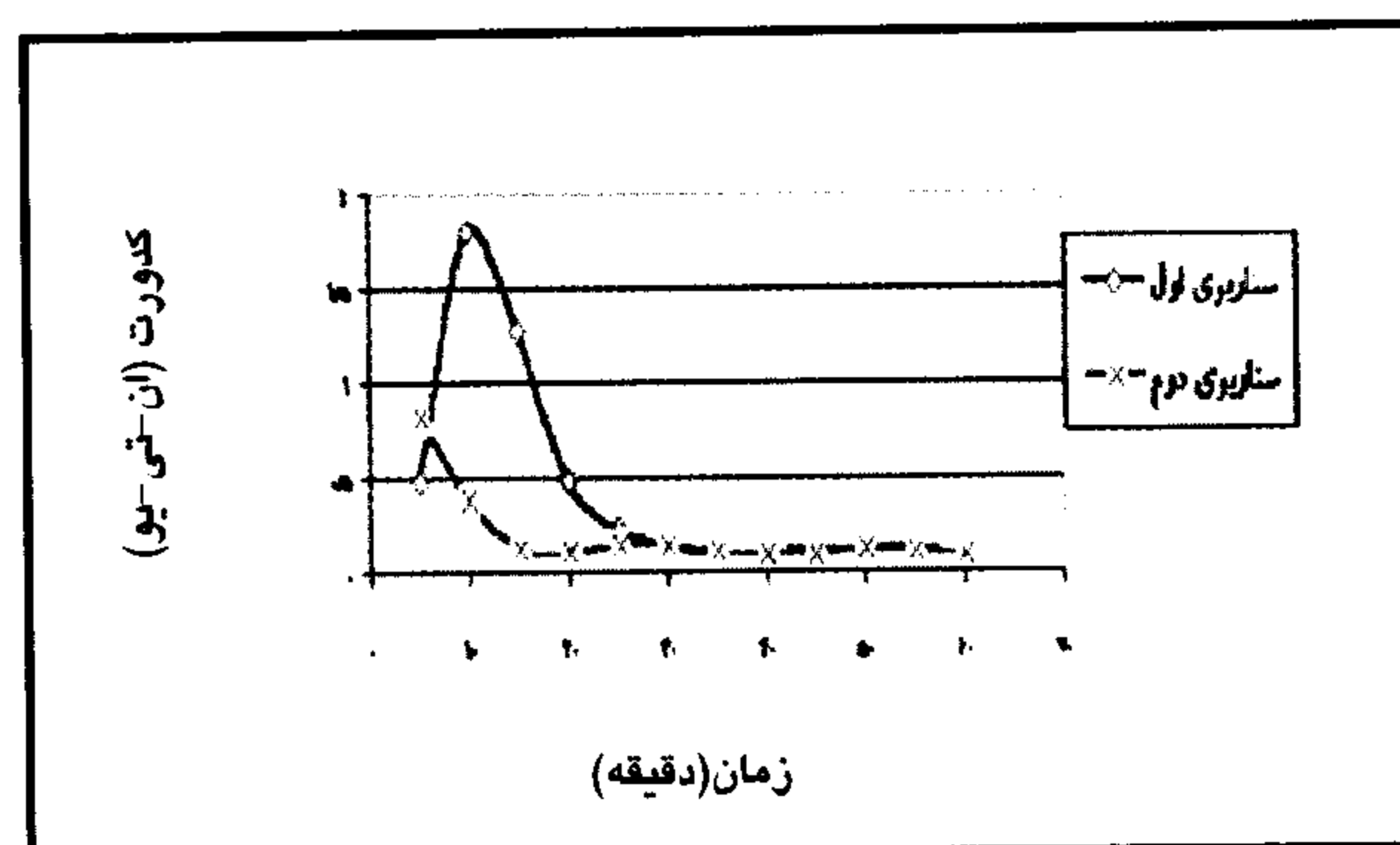
نحو فیلتراسیون (متدر ساعت)						زمان (دقیقه)	ردیف
۱۵	۱۰	۵	سناریوی ۲	سناریوی ۱	سناریوی ۲		
سناریوی ۲	سناریوی ۱	سناریوی ۲	سناریوی ۱	سناریوی ۲	سناریوی ۱		
۰/۸۵	۲/۸۳	۰/۸۳	۰/۴۹	۰/۷۴	۰/۶۹	۵	۱
۰/۳۰	۱/۴۴	۰/۳۸	۱/۷۹	۰/۲۷	۰/۷۲	۱۰	۲
۰/۱۹	۰/۵۹	۰/۱۳	۱/۲۷	۰/۱۱	۱/۵۳	۱۵	۳
۰/۱۸	*۰/۳۱	۰/۱۲	۰/۴۸	۰/۰۷	۱۱/۱	۲۰	۴
۰/۲۲	۰/۲۰	۰/۱۵	*۰/۲۳	۰/۰۹	۰/۷۹	۲۵	۵
۰/۲۴	۰/۲۱	۰/۱۴	۰/۱۴	۰/۱۲	۰/۳۹	۳۰	۶
۰/۲۰	۰/۲۱	۰/۱۱	۰/۱۰	۰/۱۱	*۰/۲۲	۳۵	۷
۰/۱۸	۰/۱۹	۰/۰۹	۰/۰۹	۰/۱۱	۰/۰۹	۴۰	۸
۰/۲۱	۰/۱۷	۰/۱۰	۰/۱۲	۰/۰۹	۰/۱۱	۴۵	۹
۰/۱۹	۰/۲۰	۰/۱۳	۰/۱۱	۰/۰۸	۰/۰۷	۵۰	۱۰
۰/۱۷	۰/۲۰	۰/۱۲	۰/۱۳	۰/۱۰	۰/۰۷	۵۵	۱۱
۰/۲۰	۰/۲۳	۰/۰۹	۰/۱۰	۰/۱۱	۰/۱۱	۶۰	۱۲
۱۵۷	۱۵۷	۱۳۱	۱۳۱	۹۲	۹۲	حجم آب صاف شده (لیتر)	
۵E/۰/۸۹	۵E/۰/۸۸	۵E/۰/۹۱	۵E/۰/۹۵	۵E/۰/۹۲	۵E/۰/۹	تعداد کیست ورودی (دلیتر)	
۵۲	۱۱۵	۴۱	۱۶۲	۵	۳۰	تعداد کیست خروجی (دلیتر)	
۳/۲۲	۲/۸۸	۳/۲۵	۲/۷۷	۴/۲۶	۳/۴۸	لگاریتم حذف	



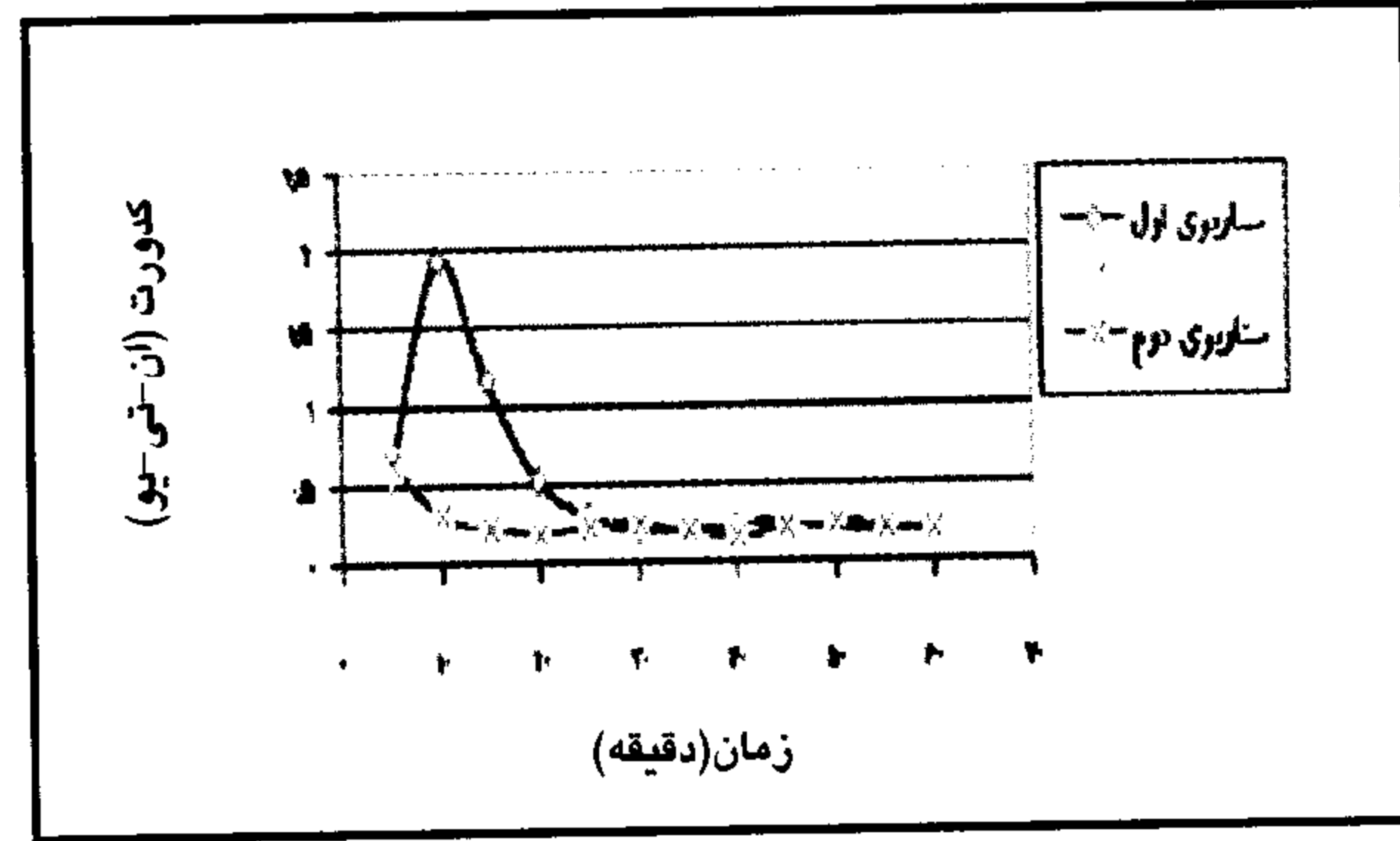
نمودار شماره (۵): منحنی نتایج حاصل از بررسی آثار بلوغ اولیه صافی سه لایه در فرخ فیلتراسیون پنج متر در ساعت



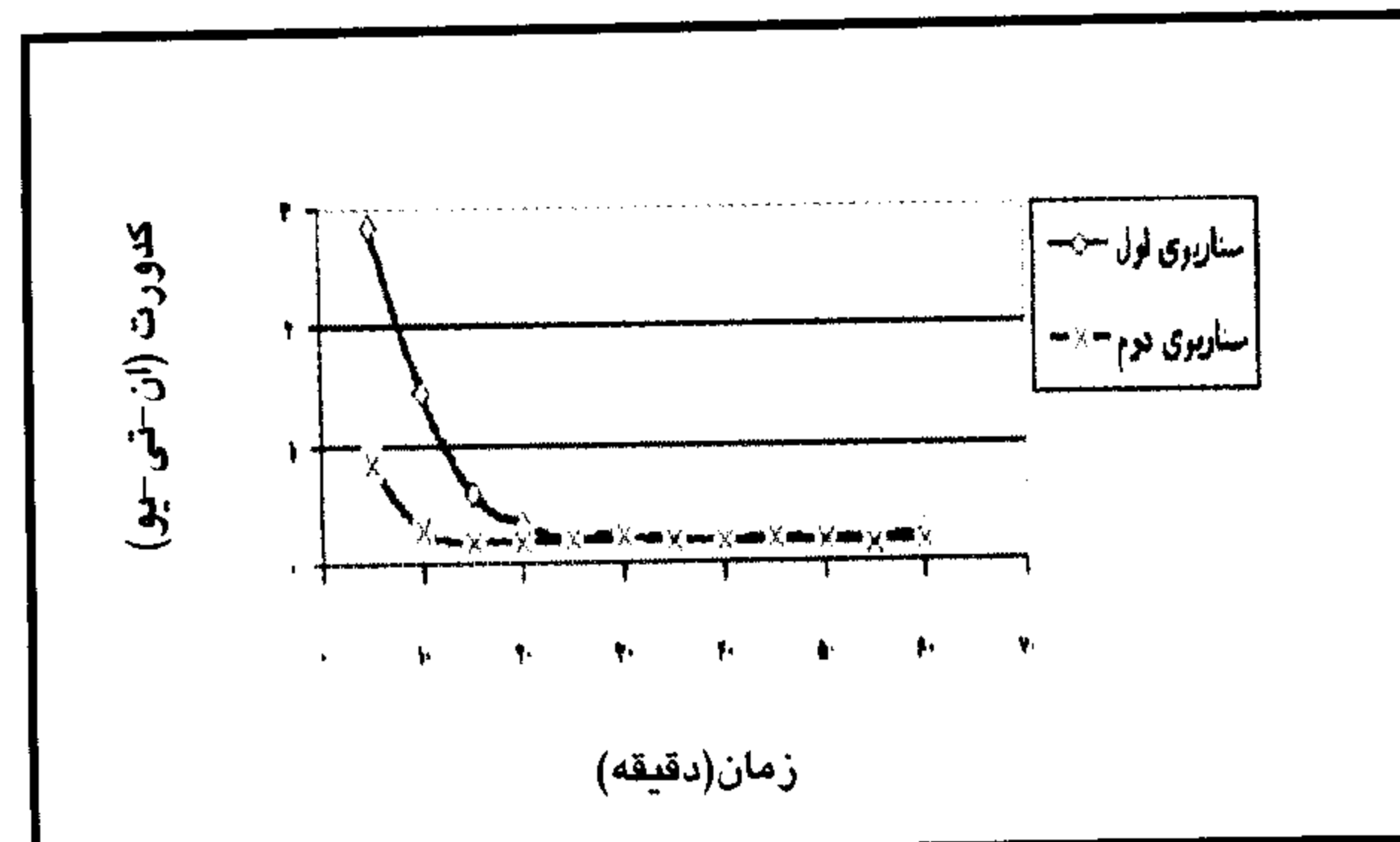
نمودار شماره (۶): منحنی نتایج حاصل از بررسی آثار بلوغ اولیه صافی تک لایه در فرخ فیلتراسیون پنج متر در ساعت



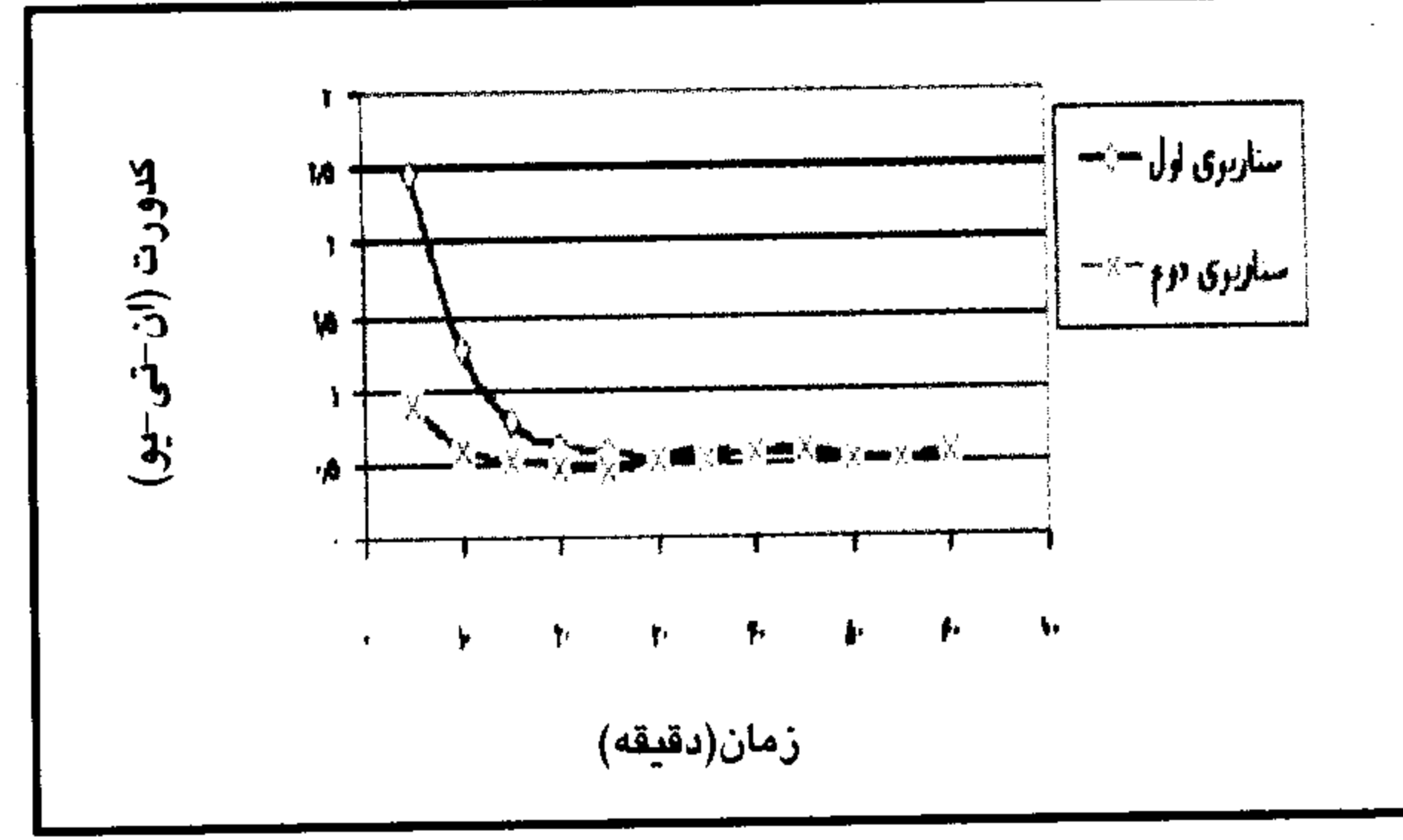
نمودار شماره (۷): منحنی نتایج حاصل از بررسی آثار بلوغ اولیه صافی سه لایه در فرخ فیلتراسیون ۱۰ متر در ساعت



نمودار شماره (۸): منحنی نتایج حاصل از بررسی آثار بلوغ اولیه صافی تک لایه در فرخ فیلتراسیون ۱۰ متر در ساعت



نمودار شماره (۹): منحنی نتایج حاصل از بررسی آثار بلوغ اولیه صافی سه لایه در فرخ فیلتراسیون ۱۵ متر در ساعت



نمودار شماره (۱۰): منحنی نتایج حاصل از بررسی آثار بلوغ اولیه صافی تک لایه در فرخ فیلتراسیون ۱۵ متر در ساعت

تخصصی بهبود بهره برداری تصفیه خانه های آب شهری، ویژه معاونین بهره برداری و مدیران تصفیه خانه های آب کشور.

Amirtharajah, A. 1988. Some theoretical and conceptual views of filtration J. AWWA. 80: 12:36.

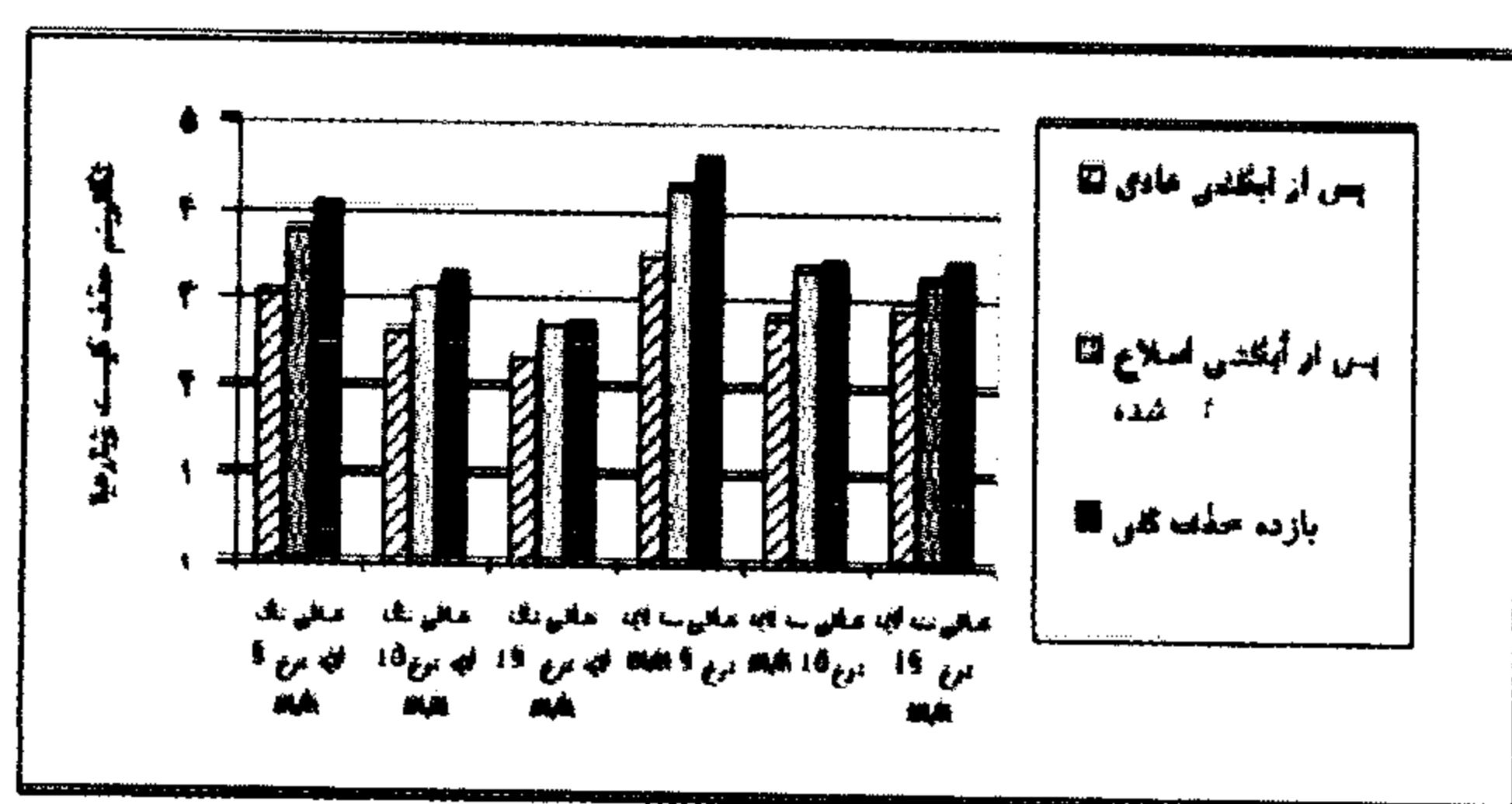
Amirtharajah, A. and Wetstein, D. P. 1980. Initial degradation of effluent quality during filtration J. AWWA 72:9:518.

Cleasby, J. L. et al. 1984. Slow sand and direct in-line filtration of a surface water J. AWWA 76:12:44.

Huisman, L. 1986. Rapid filtration IHE-Delft.

Patania, N. L. 1996. Optimization of filtration for cryptosporidium removal. AWWA-RF.

Trimboli, L. 2001. Origin of particles in filtered water. University of Massachusetts-Amherst.



نمودار شماره (۸): مقایسه لگاریتم حذف گیست زیاردیا پس از آبکشی عادی و اصلاح شده با میانگین کلی لگاریتم حذف

#### یادداشت ها

- 1- Filter Ripening Stage
- 2- Giardia Cysts
- 3- Steady State
- 4- Break through
- 5- Cryptosporidium Oocysts
- 6- Filtration Rate
- 7- Wall effect
- 8- Single Media
- 9- Triple Media
- 10- Mixed Media
- 11- Standard Methods for the examination of water and wastewater
- 12- American Society for Testing and Materials
- 13- Poly propylene

#### منابع مورد استفاده

رشیدی، ع. ۱۳۸۱. روش‌های اصلاح صافی‌ها در تصفیه خانه‌های متعارف آب، خلاصه مقالات سومین سمینار داخلی انجمن علمی دانشجویان عمران، دانشکده صنعت آب و برق.

رشیدی، ع. و فاضلی، م. ۱۳۸۱. روش‌های بهبود و ارتقای فرایند در تصفیه خانه‌های آب، خلاصه مقالات دومین کارگاه آموزشی،